

УДК @@@

ДИАГНОСТИКА СИНХРОНИЗАЦИИ АВТОКОЛЕБАТЕЛЬНЫХ СИСТЕМ ПРИ ИЗМЕНЕНИИ ЧАСТОТЫ ВНЕШНЕГО ВОЗДЕЙСТВИЯ С ИСПОЛЬЗОВАНИЕМ ВЕЙВЛЕТНОГО АНАЛИЗА

© 2007 г. А. А. Короновский, В. И. Пономаренко, М. Д. Прохоров, А. Е. Храмов

Поступила в редакцию 25.07.2005 г.

Предложен метод, основанный на непрерывном вейвлетном преобразовании, который позволяет диагностировать наличие синхронизации колебаний автогенератора внешним воздействием с линейной модуляцией частоты и отличить эту ситуацию от случая просачивания внешнего сигнала в автоколебания, под которым понимается суммирование сигналов без изменения частоты автоколебаний. Эффективность метода демонстрируется на примере генератора Van der Polya и экспериментальных физиологических данных.

ВВЕДЕНИЕ

Хорошо известно, что взаимодействие между нелинейными колебательными системами различной природы, в том числе демонстрирующими хаотическое поведение, может привести к их синхронизации [1]. Особый интерес в последние годы вызывает исследование синхронизации в живых организмах, жизнедеятельность которых обусловлена взаимодействием большого числа сложных ритмических процессов [2–4]. Ярким примером такого взаимодействия между различными физиологическими ритмами является функционирование сердечно-сосудистой системы человека. Наиболее значимыми колебательными процессами, определяющими ее динамику, являются основной сердечный ритм, дыхание, а также процесс медленной регуляции кровяного давления и сердечного ритма с собственной частотой вблизи 0.1 Гц [5]. В результате взаимодействия эти ритмы проявляются в различных сигналах: электрокардиограммах (ЭКГ), кровяном давлении, потоке крови, вариабельности сердечного ритма (ВСР) [6].

Сравнительно недавно было обнаружено, что основные ритмы сердечно-сосудистой системы могут быть синхронизованы между собой [7–10]. Причем было установлено, что системы, задающие основной сердечный ритм и ритм медленной регуляции кровяного давления, можно рассматривать как автогенераторы под внешним воздействием, в качестве которого выступает дыхание [10, 11]. Такое заключение о характере взаимодействия ритмов сердечно-сосудистой системы становится особенно убедительным при сопоставлении экспериментальных данных при дыхании человека по заданному ритму с модельными данными, получаемыми при исследовании неав-

тономных автогенераторов. Однако при частотах дыхания, близких к 0.1 Гц, т.е. к собственной частоте ритма регуляции кровяного давления, становится сложным отличить синхронизацию этих двух процессов от всегда имеющего место эффекта присутствия респираторной компоненты в сигнале ВСР, используемом нами для анализа медленных колебаний давления крови. Действительно, вариабельность сердечного ритма человека является результатом сложного взаимодействия многих физиологических процессов [12], при близких частотах которых разделение их вклада в ВСР становится проблематичным.

В данной работе мы предлагаем метод, основанный на вейвлетном преобразовании, который позволяет диагностировать наличие синхронизации колебаний автогенератора внешним воздействием с линейной модуляцией частоты и отличить эту ситуацию от случая просачивания внешнего сигнала в автоколебания, под которым будем понимать суммирование сигналов без изменения частоты автоколебаний. Эффективность метода демонстрируется на численных примерах и поэкспериментальным физиологическим сигналам.

1. ИССЛЕДУЕМАЯ МОДЕЛЬ

Общность явлений, наблюдавшихся в периодически возбуждаемых автогенераторах физиологической и физической природы, была продемонстрирована в работах [7, 9], в которых было показано, что качественно похожие особенности синхронизации наблюдаются и при воздействии дыхания на сердцебиение и процесс регуляции кровяного давления, и при воздействии периодической силы на генератор Van der Polya. Рассмотрим асимметричный генератор Van der Polya под

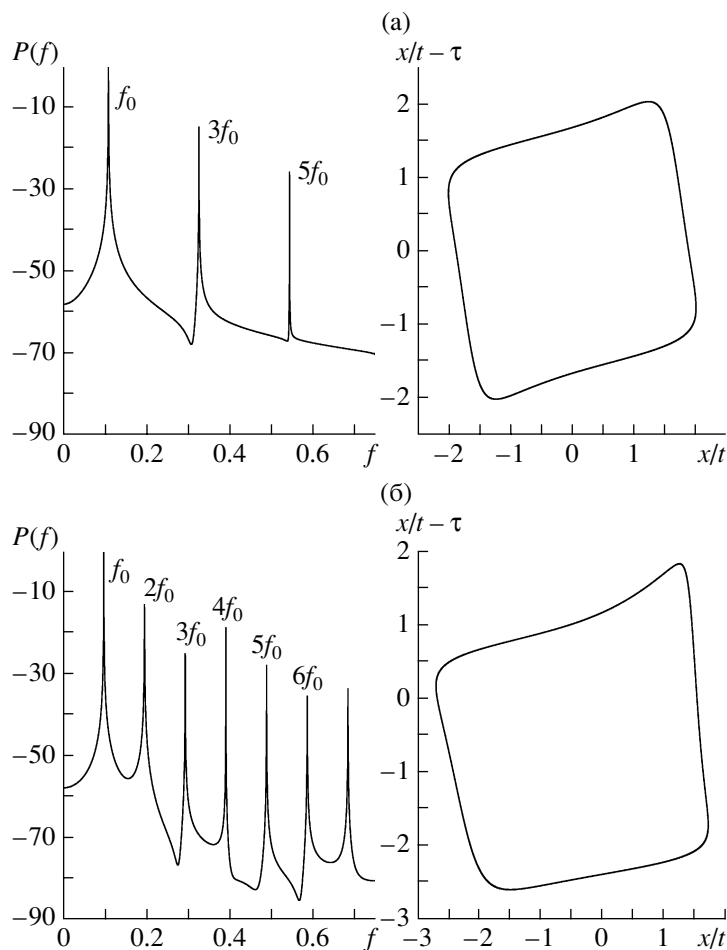


Рис. 1. Фурье-спектры мощности (слева) и фазовые портреты (справа) колебаний в симметричном (т.е. при $\alpha = 0$) (а) и асимметричном ($\alpha = 1$) (б) генераторах Ван дер Поля в автономном режиме.

внешним воздействием с линейной модуляцией частоты в качестве модели взаимодействия дыхания и процесса медленной регуляции кровяного давления.

Исследуемая модель асимметричного генератора Ван дер Поля под внешним периодическим воздействием определяется как

$$\ddot{x} - \mu(1 - \alpha x - x^2)x + \omega_0^2 x = K \sin(\omega_L t). \quad (1)$$

Здесь $\mu = 1.0$ и $\omega_0 = 0.24\pi$, а ω_L – частота внешнего воздействия меняется линейным образом во времени по закону

$$\omega_L = 2\pi(0.03 + (0.2 - 0.03)t/T), \quad (2)$$

где t – текущее время, $T = 1800$ – максимальное время расчета. Данные значения были выбраны таким образом, чтобы обеспечить сопоставление результатов численного моделирования с данными, полученными при анализе сигналов дыхания и вариабельности сердечного ритма человека (см. разд. 4).

Параметр $\alpha = 0$ соответствует классическому генератору Ван дер Поля, который характеризуется симметричным предельным циклом. Следствием симметричности фазового портрета колебаний является то, что в спектре мощности колебаний наблюдаются только нечетные $(2n + 1)f_0$ гармоники основной частоты f_0 ($n = 1, 2, \dots$). Это иллюстрирует рис. 1а, на котором приведены спектр и фазовый портрет колебаний в симметричном генераторе Ван дер Поля в автономном режиме (при амплитуде внешнего сигнала $K = 0$). Видно, что в спектре мощности наблюдаются только нечетные гармоники основной частоты: $3f_0, 5f_0, 7f_0$ и т.д. Наличие таких гармоник является весьма неудобным для моделирования процессов взаимодействия основных ритмов сердечно-сосудистой системы, так как в них ярко проявляется динамика второй гармоники автоколебаний.

Поэтому предлагаем рассмотреть в качестве модели для анализа синхронизации физиологических процессов в сердечно-сосудистой системе модель модифицированного генератора Ван дер

Поля с квадратичной нелинейностью. В представленной работе будем рассматривать модель (1) при значении параметра квадратичной нелинейности $\alpha = 1$. Соответствующие характеристики автономной динамики для этого случая представлены на рис. 1б. Видно, что фазовый портрет сильно асимметричный, в спектре мощности присутствуют как четные, так и нечетные гармоники основной частоты f_0 . Таким образом, введение асимметрии в модель позволяет более точно описать взаимодействие реальных систем.

Для рассмотрения и сравнения ситуации синхронизации колебаний внешним сигналом и эффекта просачивания внешнего сигнала в сигнал, снимаемый в эксперименте, помимо модели (1) будем исследовать суммарный сигнал, который формируется как

$$x_{\Sigma}(t) = x(t) + R \sin(\omega_L t), \quad (3)$$

где $x(t)$ – решение автономного асимметричного уравнения Ван дер Поля, R – амплитуда просачивающегося сигнала; ω_L – частота аддитивного синусоидального сигнала, определяемая соотношением (2).

2. ПРИМЕНЕНИЕ ВЕЙВЛЕТНОГО ПРЕОБРАЗОВАНИЯ К АНАЛИЗУ СИНХРОНИЗАЦИИ КОЛЕБАНИЙ МЕРА СИНХРОНИЗАЦИИ КОЛЕБАНИЙ

При изучении синхронизации хаотических осцилляторов различают различные типы синхронного поведения: полную и обобщенную синхронизацию, синхронизацию с запаздыванием и фазовую [1]. Наиболее часто рассматривают фазовую синхронизацию, для которой оказывается важным введение фазы хаотического сигнала (см. [1, 13–15]). Возникновение фазовой синхронизации означает, что происходит захват фаз хаотических сигналов, в то время как амплитуды этих сигналов остаются несвязанными друг с другом и выглядят хаотическими. Захват фаз влечет за собой совпадение частот сигналов. Частота хаотического сигнала определяется как средняя скорость изменения фазы $\langle \dot{\phi}(t) \rangle$. В то же время, если спектральный состав сигнала сложный, не всегда удается охарактеризовать динамику системы с помощью одной фазы [16].

В работах [17, 18] предложен новый подход к анализу синхронизации колебаний, основанный на введении непрерывного множества фаз, которое определяется с помощью непрерывного вейвлетного преобразования [19, 20] временного ряда $x(t)$

$$W(s, t_0) = \int_{-\infty}^{+\infty} x(t) \psi_{s, t_0}^*(t) dt, \quad (4)$$

где $\psi_{s, t_0}(t)$ – вейвлетная функция, получающаяся из материнского вейвлета $\psi_0(t)$:

$$\psi_{s, t_0}(t) = \frac{1}{\sqrt{s}} \psi_0\left(\frac{t - t_0}{s}\right). \quad (5)$$

Временной масштаб s определяет ширину вейвлета $\psi_{s, t_0}(t)$, t_0 – временной сдвиг вейвлетной функции вдоль оси времени (“*” означает комплексное сопряжение). Следует отметить, что при проведении вейвлетного анализа понятие “временной масштаб”, как правило, используется вместо понятия “частота”, традиционного для фурье-преобразования.

В качестве материнского вейвлета используется морлет-вейвлет $\psi_0(\eta) = (1/\sqrt{\pi}) \exp(j\omega_0\eta) \exp(-\eta^2/2)$ [21]. Выбор значения параметра вейвлета $\omega_0 = 2\pi$ обеспечивает соотношение $s = 1/f$ между временным масштабом s вейвлетного преобразования и частотой f преобразования Фурье.

Вейвлетный спектр

$$W(s, t_0) = |W(s, t_0)| \exp[j\phi_s(t_0)] \quad (6)$$

характеризует поведение системы на каждом временном масштабе s в любой момент времени t_0 . Величина $|W(s, t_0)|$ характеризует наличие и интенсивность соответствующего временного масштаба s в момент времени t_0 .

Для визуализации трехмерных вейвлетных поверхностей $|W(s, t_0)|$ будем использовать их проекции на плоскость (s, t_0) [20]. Интенсивность окраски на проекциях поверхности вейвлетного преобразования пропорциональна абсолютной величине коэффициентов $|W(s, t_0)|$. На рис. 2 показаны вейвлетные спектры $|W(s, t_0)|$ автономного асимметричного генератора Ван дер Поля (рис. 2а) и внешнего гармонического сигнала с переменной частотой (рис. 2б). Из вейвлетного спектра колебаний автономного генератора видно, что в вейвлетном спектре наблюдается максимум на масштабе $s_0 = 1/f_0$, соответствующем основной частоте, и масштабе $s_0/2$, соответствующем второй гармонике $2f_0$ основной частоты (отмечены на рис. 2а). В вейвлетном спектре сигнала с переменной частотой наблюдается максимум, положение которого меняется с течением времени и который проявляется на масштабе $s_L(t) = 2\pi/\omega_L(t)$, где $\omega_L(t)$ задается линейным законом (2). Увеличение интенсивности временного масштаба с течением времени (и, соответственно, с ростом частоты) на рис. 2б определяется тем, что спектральные компоненты временного ряда с одинаковой интенсивностью, но различной частотой, выделяются вейвлетным преобразованием в виде максимумов с различной высотой и различной шириной Δs [20]. Поэтому с увеличением частоты возрастает ин-

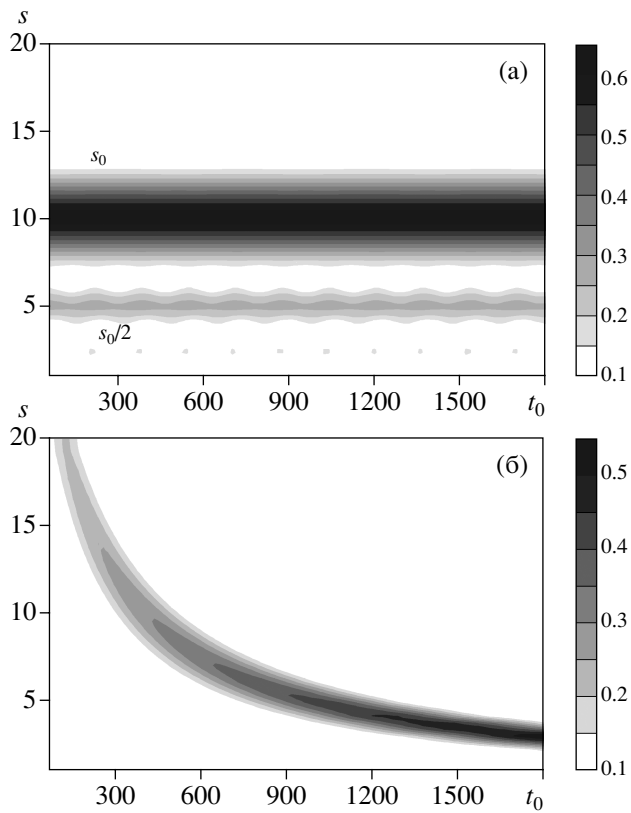


Рис. 2. Вейвлетные спектры $|W(s, t_0)|$ автономного асимметричного генератора Ван дер Поля (а) при $\alpha = 1.0$, $K = 0$ и внешнего гармонического сигнала с переменной частотой (б).

тенсивность соответствующего максимума на вейвлетной поверхности.

Полезно также ввести интегральное распределение энергии вейвлетного спектра по временным масштабам

$$\langle E(s) \rangle = \int |W(s, t_0)|^2 dt_0. \quad (7)$$

В то же время естественным образом оказывается определенной фаза $\phi_s(t) = \arg W(s, t)$ для каждого временного масштаба s . Иными словами, становится возможным охарактеризовать поведение каждого временного масштаба s с помощью ассоциированной с ним фазы $\phi_s(t)$.

Если существует некоторый диапазон временных масштабов $[s_1; s_2]$, такой, что для любого временного масштаба $s \in [s_1; s_2]$ выполняется условие захвата фаз

$$|\Delta\phi_s(t)| = |\phi_{s1}(t) - \phi_{s2}(t)| < \text{const} \quad (8)$$

и доля энергии вейвлетного спектра, приходящаяся на этот диапазон, отлична от нуля

$$E_{snhr} = \int_{s_1}^{s_2} \langle E(s) \rangle ds > 0, \quad (9)$$

то временные масштабы $s \in [s_1; s_2]$ являются синхронизированными, а автогенераторы находятся в режиме синхронизации временных масштабов [17, 18]. В соотношении (8) $\phi_{s1,2}(t)$ – непрерывные фазы первого и второго осцилляторов, соответствующие синхронизированным временным масштабам $s \in [s_1; s_2]$.

Использование подобного подхода позволяет не только эффективно анализировать поведение систем с плохо определенной фазой, когда не удается ввести непрерывную фазу хаотического сигнала, но и с единичных позиций рассматривать явление хаотической синхронизации в целом: все известные ранее различные типы синхронного поведения хаотических систем являются частными случаями синхронизации временных масштабов (см. подробнее [18]).

Введение в рассмотрение непрерывного множества временных масштабов s с ассоциированными с ними фазами хаотического сигнала и выделение диапазона синхронных масштабов $\Delta s = s_2 - s_1$ позволяет ввести количественную характеристику меры хаотической синхронизации неавтономной системы, которая определяется как относительная доля энергии вейвлетного спектра, приходящаяся на синхронные временные масштабы [17, 18]:

$$\gamma = \frac{\int_{s_1}^{s_2} \langle E(s) \rangle ds}{\int_0^\infty \langle E(s) \rangle ds}, \quad (10)$$

где $\langle E(s) \rangle$ – интегральное распределение энергии вейвлетного спектра по масштабам, определяемое формулой (7). Значение величины $\gamma = 0$ свидетельствует об отсутствии режима хаотической синхронизации связанных подсистем. Величина $\gamma \neq 0$ означает, что в системе реализуется режим синхронизации временных масштабов, означающий наличие синхронизированных масштабов, для которых выполняются условия (8) и (9). Значение $\gamma = 1$ показывает, что колебания в каждой из подсистем идентичны или сдвинуты относительно друг друга на некоторый интервал времени Δt . В случае синхронизации хаотических осцилляторов такой режим называется режимом полной или лаг-синхронизации [1]. Рост γ от 0 до 1 свидетельствует об увеличении доли энергии, приходящейся на синхронные временные масштабы s .

3. РЕЗУЛЬТАТЫ ИССЛЕДОВАНИЯ АСИММЕТРИЧНОГО ГЕНЕРАТОРА ВАН ДЕР ПОЛЯ ПОД ВНЕШНИМ ВОЗДЕЙСТВИЕМ

A. Амплитудная динамика вейвлетных спектров неавтономного генератора и суммарного сигнала

Рассмотрим результаты анализа вейвлетных спектров мощности $|W(s, t)|$ сигнала $x(t)$, порождаемого генератором (1), синхронизуемого внешней силой с меняющейся частотой, и суммарного сигнала $x_{\Sigma}(t)$ (3) с синусоидальным сигналом с меняющейся по тому же закону (2) частотой.

На рис. 3 показаны вейвлетные спектры в координатах “временной сдвиг t_0 – масштаб вейвлетного преобразования s ” двух различных типов сигналов, построенные в течении времени $T = 1800$; Там же приведена динамика масштаба $s_L = 2\pi/\omega_L$, (штриховая линия) соответствующего линейно меняющейся частоте (2).

Анализ вейвлетного спектра на рис. 3а, соответствующего генератору, синхронизируемому внешним сигналом с переменной частотой, показывает, что в этом случае наблюдается классическая картина захвата частоты генератора внешним сигналом, что выражается в появлении изломов в моменты времени t_s и t_{2s} (отмечены на рисунке стрелками), когда частота внешнего сигнала близка к частоте $\omega_L(t_s) \approx 2\pi f_0$ автономного генератора или ее второй гармонике $\omega_L(t_{2s}) \approx 4\pi f_0$ (отмечены на вейвлетном спектре). Данный излом отражает эффект затягивания частоты генератора внешнем сигналом и затем при большой расстройке ($\omega_L - 2\pi f_0$) возвращение частоты колебаний генератора (а также ее гармоник) к собственной автономной частоте. При этом в области захвата частоты наблюдается рост амплитуды соответствующих коэффициентов вейвлетного спектра $|W(s, t_0)|$, который определяется известным эффектом увеличения амплитуды колебаний в клюве синхронизации.

Важно отметить, что наряду с изломом в спектре на основном масштабе s_0 наблюдается и излом на масштабе $s_0/2$. Также обратим внимание на тот факт, что на вейвлетной поверхности не наблюдается максимумов, соответствующих внешнему синхронизирующему сигналу, что связано с низкой интенсивностью гармоники.

Иная ситуация наблюдается при рассмотрении суммарного сигнала x_{Σ} , содержащего сигнал с изменяющейся частотой. Вейвлетный спектр мощности для этого случая показан на рис. 3б. Картина вейвлетного спектра принципиально отлична от спектра в случае синхронизации (см. рис. 3а).

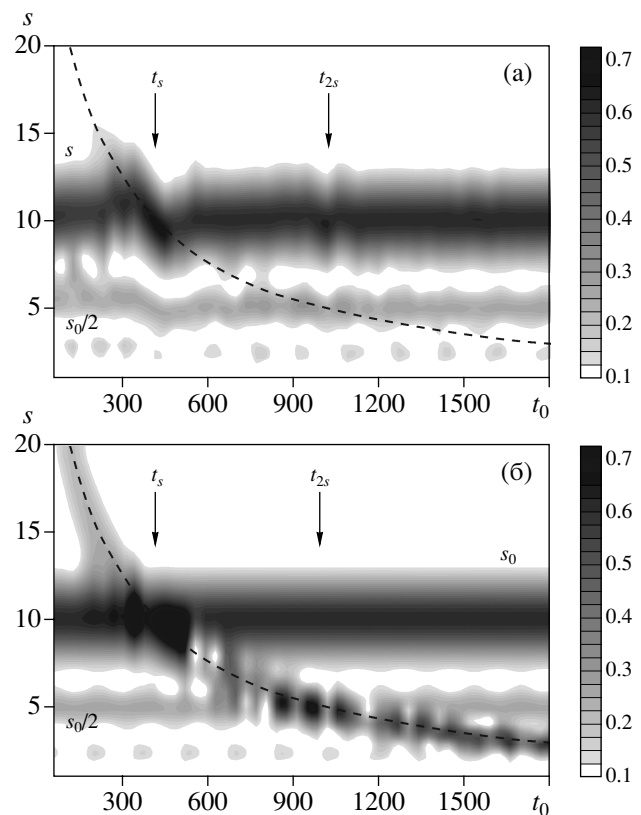


Рис. 3. Вейвлетные спектры мощности $|W(s, t_0)|$ (а) сигнала, порождаемого генератором (1), синхронизуемого внешней силой с меняющейся частотой (а), и суммарного сигнала $x_{\Sigma}(t)$ (б), содержащего сигнал с меняющейся частотой (б).

Во-первых, в спектре четко прослеживается как динамика генератора Ван дер Поля, так и динамика просачивающегося сигнала с переменной частотой (ср. с рис. 2), что не наблюдалось в случае синхронизации.

Во-вторых, здесь мы не наблюдаем характерной картины затягивания частоты генерации, которой на рис. 3а отвечали изломы на вейвлетной поверхности в моменты времени t_s и t_{2s} . Имеет место только некоторое искажение вейвлетной поверхности и возрастание амплитуды вейвлетных коэффициентов $|W|$ в моменты времени t_s и t_{2s} , которые определяются аддитивным сложением двух сигналов со сравнимым амплитудами и близкими частотами.

В-третьих, искажение поверхности в области основного масштаба s_0 не приводит к какому-либо изменению динамики на масштабе $s_0/2$, который соответствует второй гармонике сигнала $x(t)$ асимметричного генератора Ван дер Поля. Аналогично совпадение частот ω_L и $4\pi f_0$ также не приводит к появлению каких-либо изменений динамики основного масштаба в вейвлетном спектре.

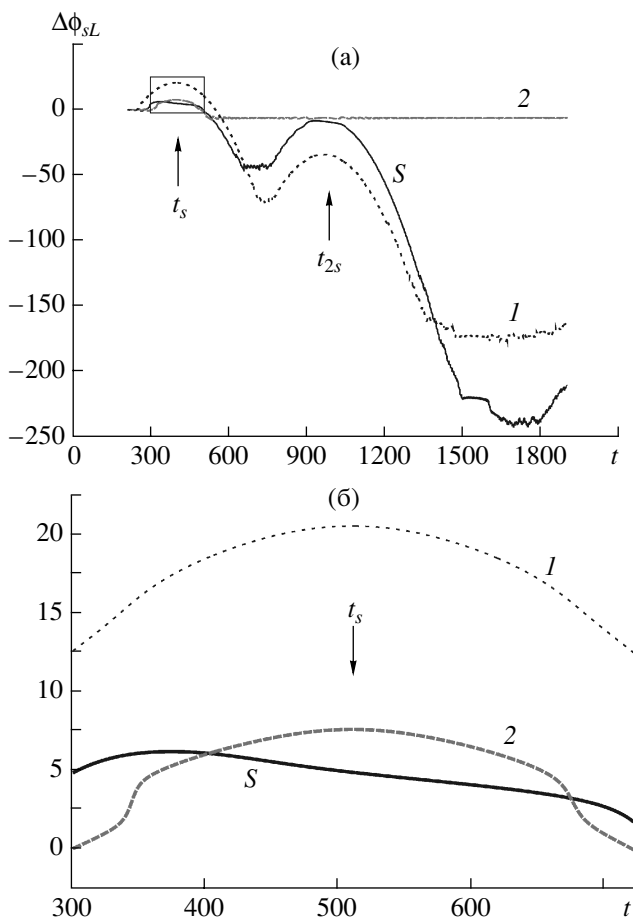


Рис. 4. Динамика разности фаз $\Delta\phi_{sL}(t)$ на временных масштабах $s_L = 2\pi/\omega_L$, соответствующих линейно растущей частоте ω_L сигналов $x(t)$ асимметричного генератора Ван дер Поля и внешнего сигнала $R\sin(\omega_L t)$. Случай суммарного сигнала (3) с $R = 0.2$ (1) и 1.0 (2); кривая S – случай синхронизации генератора Ван дер Поля (в формуле (1) $K = 0.2$). Рамкой выделен фрагмент, представленный на рис. 4б.

Таким образом, можно сделать важный вывод, что отличие между случаем, когда сигнал генератора, богатый гармониками основной частоты, синхронизуется внешним сигналом, и случаем простого просачивания сигнала, можно отслеживать по вейвлетному спектру мощности, сравнивая динамику масштабов, соответствующих основной частоте и ее гармоникам. В случае эффекта “просачивания” какие-либо изменения динамики масштаба, частота которого близка к частоте внешнего сигнала, не приводят к изменению динамики других характерных масштабов (ср. динамику масштабов s_0 и $s_0/2$ на рис. 3б). В случае синхронизации характерный излом в спектре мощности вейвлетного преобразования наблюдается на всех характерных масштабах (см. рис. 3а).

Б. Фазовая динамика сигнала неавтономного генератора и суммарного сигнала

Рассмотрим динамику фаз, вводимых с помощью непрерывного вейвлетного преобразования (см. разд. 2), сигнала $x(t)$, порождаемого генератором (3), синхронизуемого внешней силой с меняющейся частотой, и суммарного сигнала $x_\Sigma(t)$ (3).

Вначале исследуем динамику разности фаз $\Delta\phi_{sL}(t)$ между рассматриваемым сигналом $x(t)$ (синхронизируемый асимметричный генератор Ван дер Поля (1)), или $x_\Sigma(t)$ (суммарный сигнал (3)), и внешним сигналом $R\sin(\omega_L t)$ с линейно меняющейся частотой. Разность фаз будет строиться вдоль временного масштаба $s_L(t)$, соответствующего частоте $\omega_L(t)$ (2) внешнего сигнала (т.е. вдоль штриховых линий на рис. 3). Построенные зависимости разности фаз $\Delta\phi_{sL}$ для различных случаев представлены на рис. 4.

Изучим случай просачивания внешнего сигнала с меняющейся частотой $\omega_L(t)$ в анализируемый сигнал, т.е. будем рассматривать суммарный сигнал $x_\Sigma(t)$ (3). Рассмотрим динамику фазы в окрестности момента времени $t = t_s$, когда имеет место близость частоты внешнего сигнала и основной частоты генератора Ван дер Поля: $\omega_L(t_s) \approx 2\pi f_0$. Поведение фазы основного масштаба $s_0 = 1/f_0$ колебаний генератора Ван дер Поля можно записать как $\phi_{s0}(t) = 2\pi f_0 t + \varphi_1$. Фаза внешнего сигнала $\phi_{sL}(t) = \omega_L(t)t + \varphi_2$, где $\varphi_{1,2}$ – начальные фазы. Тогда, предполагая, что амплитуда просачивающегося сигнала существенно меньше амплитуды колебаний генератора Ван дер Поля, и учитывая, что частота $\omega_L(t) = 2\pi(a + bt)$ растет линейно во времени, зависимость разности фаз между двумя сигналами, составляющими суммарный сигнал $x_\Sigma(t)$ (3), запишем в виде

$$\begin{aligned}\Delta\phi_{sL}(t) &= \phi_{s0}(t) - \phi_{sL}(t) = \\ &= 2\pi[(f_0 - a)t - bt^2] + \varphi_1 - \varphi_2.\end{aligned}\quad (11)$$

Отсюда видно, что в случае просачивания внешнего сигнала с линейно изменяющейся частотой разность фаз меняется по параболическому закону, причем экстремум параболы приходится на момент времени $t = t_s$, когда частота внешнего сигнала равна автономной частоте генератора. При этом форма кривой $\Delta\phi_{sL}(t)$ оказывается симметричной относительно момента времени $t = t_s$. Аналогичная картина будет иметь место, если вместо основного масштаба $s_0 = 1/f_0$ рассмотреть динамику разности фаз в окрестности масштаба $s_0/2 = 1/(2f_0)$, соответствующего второй гармонике сигнала.

Описанная динамика разности фаз $\Delta\phi_{sL}(t)$ представлена на рис. 4: суммарный сигнал $x_\Sigma(t)$ (3) при $R = 0.2$ (кривая 1) и $R = 1.0$ (кривая 2) соответ-

ственno. Из анализа кривых 1 и 2 можно сделать следующие основные выводы.

Во-первых, зависимости разности фаз вблизи моментов времени t_s и t_{2s} (при $R = 0.2$) близки к параболическим (см. рис. 4а, стрелки).

Во-вторых, зависимости разности вблизи момента времени t_s , когда частоты автономного генератора и внешнего сигнала совпадают, оказываются симметричными относительно $t = t_s$. Это хорошо видно на увеличенном фрагменте (рис. 4б). Кривая 1 построена при малой амплитуде внешнего сигнала $R = 0.2$ (слабом просачивании внешнего сигнала) и имеет параболический вид. Кривая 2, соответствующая случаю сильного просачивания ($R = 1.0$), также демонстрирует наличие экстремума в момент времени $t = t_s$, однако он менее выражен и имеет искаженную по сравнению с квадратичной зависимостью форму. Это определяется большим влиянием внешнего сигнала, который имеет значительную амплитуду, сравнимую с амплитудой сигнала генератора Ван дер Поля.

В-третьих, при большом просачивании сигнала (кривая 2) на временах, существенно отличающихся от времени $t = t_s$, разность фаз постоянна и близка к нулю (см. рис. 4а). Последнее определяется тем, что при большой амплитуде просачивающегося сигнала фактически фиксируется разность фаз внешнего и суммарного сигналов.

Рассмотрим теперь случай синхронизации асимметричного генератора Ван дер Поля внешним сигналом с линейно растущей частотой (1). Соответствующая зависимость разности фаз $\Delta\phi_{sL}(t)$ представлена на рис. 4, кривая S.

Анализируя динамику разности фаз $\Delta\phi$ неавтономного генератора Ван дер Поля и внешнего сигнала методом медленно меняющихся амплитуд и предполагая, что внешний сигнал не приводит к существенному изменению амплитуды неавтономных колебаний, а влияет преимущественно на фазовые соотношения, можно показать, что величина $\Delta\phi$ подчиняется уравнению фазовой синхронизации (уравнению Адлера [22])

$$d(\Delta\phi)/dt + k \sin \Delta\phi - (2\pi f_0 - \omega_L(t)) = 0, \quad (12)$$

где k – коэффициент, определяемый параметрами генератора. Из анализа уравнения фазовой синхронизации следует, что в области синхронизации, определяемой условием $(2\pi f_0 - \omega_L(t)) \leq k$, при изменении частоты внешнего сигнала разность фаз $\Delta\phi$ принимает значения $\pm\pi/2$ на границе “клюва” синхронизации и значение π в центре области синхронизации. Последнее означает, что в случае синхронизации генератора внешним сигналом с линейно меняющейся частотой мы должны фиксировать вблизи моментов времени $t = t_s$ и

$t = t_{2s}$ (где имеет место равенство частот первой и второй гармоник автономных колебаний и внешнего сигнала) интервалы времени, в которых фаза меняется в диапазоне π .

Подобная динамика разности фаз хорошо видна на увеличенном фрагменте (рис. 4б, кривая S). Разность фаз $\Delta\phi_{sL}$ между сигналом асимметричного генератора Ван дер Поля и внешним сигналом с переменной частотой монотонно меняется на величину π , что свидетельствует о наличии синхронизации в данном случае.

Отметим, что аналогичная картина динамики фазы наблюдается в момент времени $t = t_{2s}$, когда имеет место близость частоты внешнего сигнала и частоты второй гармоники генератора Ван дер Поля: $\omega_L(t_{2s}) \approx 4\pi f_0$.

Таким образом, наличие на зависимостях разности фаз $\Delta\phi(t)$ в моменты времени t_s , когда частота внешнего сигнала близка к частоте автономных колебаний (или ее гармоник), участков монотонного изменения $\Delta\phi$ на величину π означает наличие синхронизации колебаний генератора. Эффект же просачивания сигнала (как отмечалось выше) характеризуется наличием в момент времени $t = t_s$ экстремума функции $\Delta\phi(t)$ с симметричной динамикой относительно момента времени t_s .

Следует отметить принципиальную важность для детектирования наличия синхронизации колебаний или просачивания применения сигнала с переменной частотой. Действительно, если внешний сигнал характеризуется постоянной частотой, то из соотношения (11) следует, что разность фаз $\Delta\phi_{sL}(t)$ остается постоянной во времени. Аналогичная ситуация наблюдалась бы и в случае “истинной” синхронизации. Поэтому было бы зафиксировано наличие фазовой синхронизации в обоих случаях, хотя в первом случае происходило бы сравнение фаз одного и того же сигнала.

Важным элементом методики анализа синхронизации с помощью вейвлетного преобразования является анализ динамики разности фаз между колебаниями на различных временных масштабах s . Рассмотрим поведение разности фаз $\Delta\phi_s(t)$, определяемой на временных масштабах $s(t) = s_L(t) + \Delta s$, где Δs – отстройка временного масштаба s относительно базового масштаба $s_L(t)$, соответствующего линейно меняющейся частоте $\omega_L(t)$.

Полученные результаты анализа разности фаз на различных временных масштабах представлены на рис. 5а вблизи временного интервала $t \approx t_s$, когда выполняется равенство $\omega_0 \approx \omega_L$. Видно, что при небольших отстройках $\Delta s \in (-1, 2)$ динамика разности фаз в целом аналогична случаю точной настройки на базовый временной масштаб $s_L(t)$. При больших величинах Δs временной интервал,

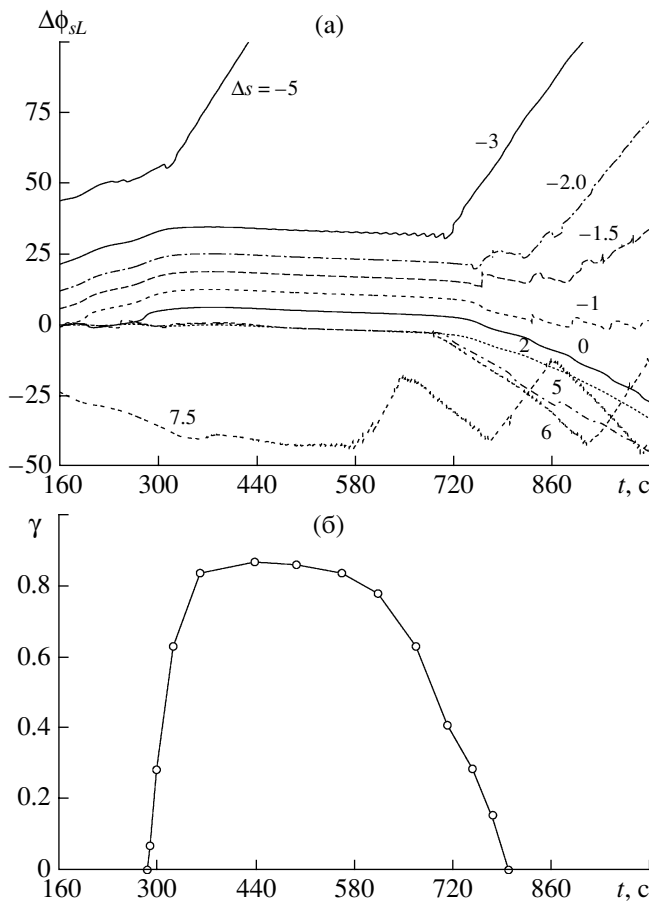


Рис. 5. а – Динамика разности фаз $\Delta\Phi_s(t)$ на временных масштабах $s_L(t) + \Delta s$, соответствующих отстройке от линейно растущей частоты ω_L сигналов $x(t)$ асимметричного генератора Ван дер Поля и внешнего сигнала $R\sin(\omega_L t)$, цифры на кривых – значения отстройки Δs . б – Мера синхронизации $\gamma(10)$, определяющая долю энергии в вейвлетном спектре мощности, приходящейся на синхронизованные масштабы.

когда наблюдается синхронная динамика на рассматриваемых масштабах, уменьшается, и начиная с некоторых отстроек Δs временных интервалов синхронной динамики вообще не наблюдается.

Интегральной характеристикой синхронного поведения различных временных масштабов служит мера синхронизации $\gamma(10)$, описанная в разд. 2. На рис. 5б показана зависимость меры синхронизации γ от времени. Видно, что в с увеличением времени при $t \geq 300$ система быстро переходит в режим синхронизации временных масштабов, причем доля энергии в вейвлетном спектре, приходящаяся на синхронизованные временные масштабы, составляет более 80%. Далее с течением времени величина $\gamma(t)$ уменьшается, и при $t > 800$ величина γ становится равной нулю, что соответствует отсутствию синхронизации колебаний.

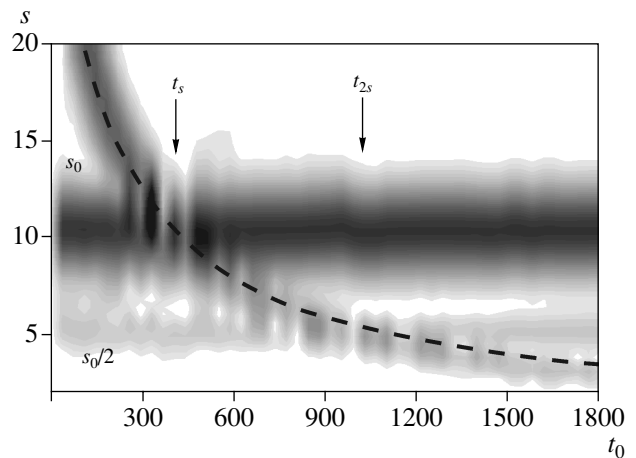


Рис. 6. Вейвлетный спектр мощности $|W(s, t_0)|$ сигнала, представляющего собой суперпозицию сигнала генератора (1), синхронизируемого внешней силой с меняющейся частотой и амплитудой $K = 0.125$, и внешнего сигнала (3) с амплитудой $R = 1$.

B. Динамика неавтономной системы при одновременном наличии просачивания и синхронизации

Рассмотрим ситуацию, когда в отклике неавтономной автоколебательной системы наблюдается одновременное наличие просачивающегося сигнала и синхронизации автогенератора. На рис. 6а показан вид амплитудного спектра $|W(s, t_0)|$ вейвлетного преобразования сигнала, представляющего собой суперпозицию сигнала генератора (1), синхронизируемого внешней силой с меняющейся частотой и амплитудой $K = 0.125$, и внешнего сигнала (3) с амплитудой $R = 1$ (ср. рис. 6а и рис. 3). Из амплитудного спектра нельзя определенно сделать вывод: имеет ли место просачивание внешнего сигнала в анализируемый ряд или синхронизация колебаний автогенератора, поскольку в спектре присутствуют признаки и того и другого явления. Поэтому для изучения данного вопроса необходимо рассмотрение разности фаз между внешним сигналом с линейно меняющейся частотой и сигналом отклика генератора на внешнее воздействие.

На рис. 7б представлена динамика разности фаз для амплитуды просачивающегося сигнала, равной $R = 1$, и различных амплитудах синхронизирующего сигнала K . При малых K ситуация качественно соответствует случаю просачивания без синхронизации, рассмотренного в предыдущих разделах. При увеличении амплитуды K синхронизирующего сигнала в системе наблюдается установление режима синхронизации в некоторой области частот. Соответственно, изменение разности фаз внутри клюва синхронизации принимает вид наклонной полки, границы которой соответствуют потере синхронизации. За преде-

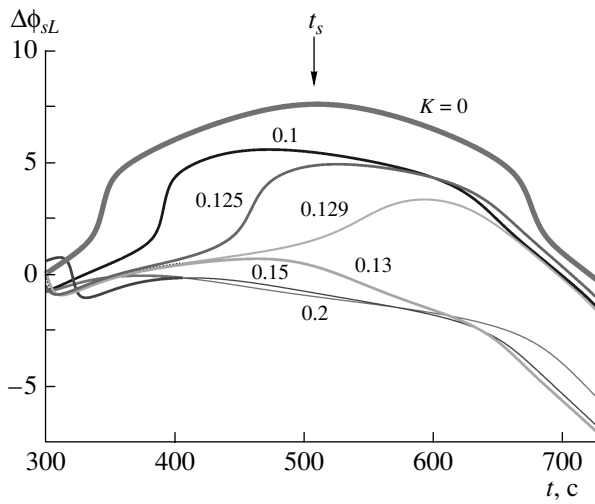


Рис. 7. Динамика разности фаз $\Delta\Phi_{sL}(t)$ на временном масштабе $s_L(t)$ (соответствующем линейно растущей частоте ω_L) сигнала, представляющего собой суперпозицию сигнала генератора (1), синхронизируемого внешней силой с меняющейся частотой и различными амплитудами K (цифры на кривых), и внешнего сигнала (3) с амплитудой $R = 1$.

лами области синхронизации наблюдается примерно постоянная разность фаз при большихстройках (больших временах t) (на рис. 7 не показано, см. рис. 4а, кривая 2).

Таким образом, при большом просачивании и существенной величине амплитуды внешнего синхронизирующего сигнала наблюдается уменьшение величины изменения разности фаз между внешним сигналом и сигналом генератора Ван дер Поля в ключе синхронизации.

4. Результаты исследования синхронизации дыхания и ритма медленной регуляции кровяного давления

Проанализируем физиологические временные ряды, порождаемые сердечно-сосудистой и дыхательной системами человека. Мы исследовали семь здоровых мужчин в возрасте от 20 до 34 лет, добровольно участвовавших в эксперименте. Все они имели средний уровень физической активности. Электрокардиограммы (ЭКГ) и дыхание записывались одновременно в положении сидя. Все сигналы снимались с частотой 250 Гц при 16-разрядном разрешении, а затем обрабатывались на компьютере.

Проводился эксперимент, в котором каждый испытуемый дышал по заданному ритму с переменной частотой f_b от 0.05 до 0.3 Гц. Темп дыхания задавался импульсным звуковым сигналом с длительностью 0.5 с. В момент появления звукового сигнала испытуемый делал вдох. Никаких других требований на характер дыхания мы не на-

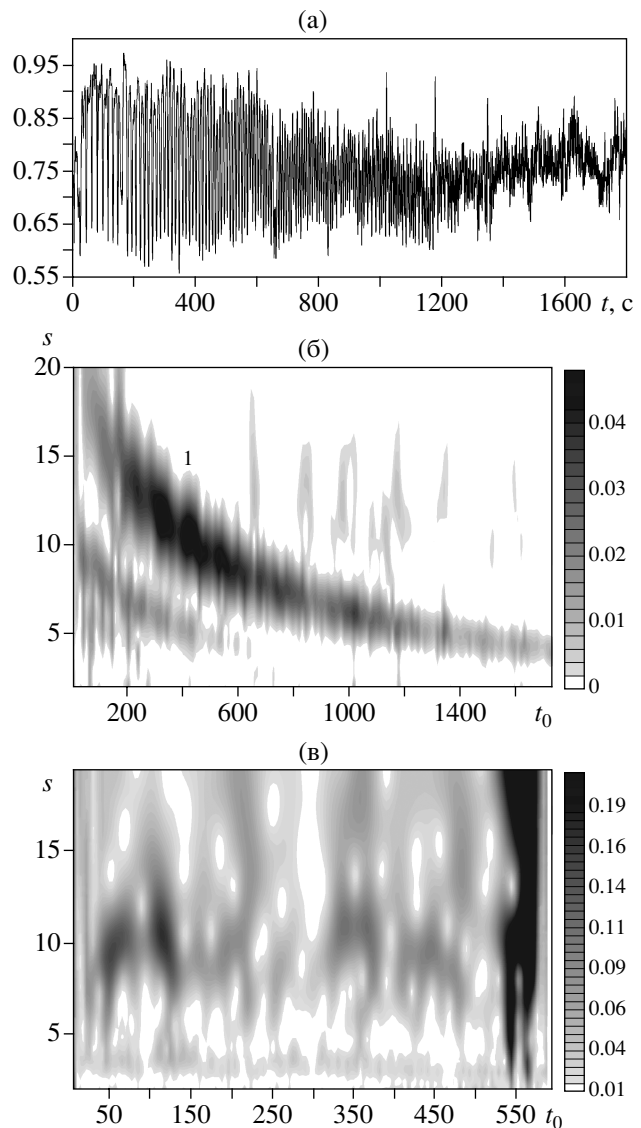


Рис. 8. Временной ряд R - R -интервалов: а – при дыхании с линейно растущей частотой, б – вейвлетные спектры мощности с переменной частотой дыхания, в – при свободном дыхании того же испытуемого.

кладывали. Испытуемый сам выбирал такую продолжительность вдоха и выдоха и глубину дыхания, какие ему были удобны. Длительность записи с линейно нарастающей частотой дыхания составляла 30 мин. Перед началом записи каждого эксперимента с заданным ритмом испытуемому давалось 3–5 мин на привыкание к требуемому ритму дыхания.

Выделяя из ЭКГ последовательность R - R -интервалов, т.е. ряд временных интервалов T_i между двумя последовательными R -пиками, мы получаем информацию о вариабельности сердечного ритма. На рис. 8а показан анализируемый временной ряд R - R -интервалов, полученный для дыхания с линейно растущей частотой. Отметим,

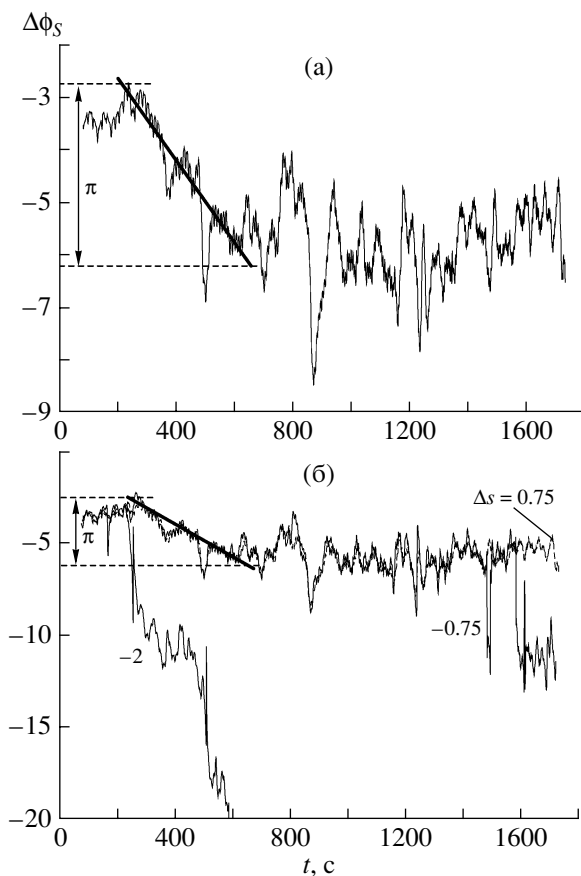


Рис. 9. Динамика разности фаз $\Delta\phi_s(t)$ на линейно изменяющемся временном масштабе $s_b(t) = 1/f_b(t)$ (а) и на временных масштабах $s_b(t) + \Delta s$ (б) рядов $R-R$ -интервалов и внешнего дыхания с линейно растущей частотой. Цифры на кривых – значения отстройки Δs .

что временной интервал T_i между отдельными отсчетами в ряде $R-R$ -интервалов не постоянен, поэтому была разработана методика осуществления непрерывного вейвлетного преобразования временного ряда с неэквидистантными временными отсчетами. На рис. 8б, в показаны вейвлетные спектры $|W(s, t_0)|$, построенные по ряду $R-R$ -интервалов для дыхания с линейно растущей частотой и при свободном дыхании того же испытуемого.

Вейвлетный спектр $|W(s, t_0)|$ временного ряда $R-R$ -интервалов при дыхании с линейно меняющейся частотой (см. рис. 8б) демонстрирует высокоамплитудный сигнал, соответствующий переменной частоте дыхания (обозначен на рис. 8б цифрой 1). Кроме того, на вдвое большей частоте наблюдается вторая гармоника сигнала дыхания. Мощность ритма с частотой 0.1 Гц (мэйеровской волны) достаточно мала и на рисунке не выражена. Тем не менее сравнение вейвлетного спектра $R-R$ -интервалов при линейно изменяющейся частоте дыхания и вейвлетных спектров генератора Ван дер Поля дает возможность провести анало-

гию между реальной и модельной системами. Вид вейвлетного спектра реальной системы можно интерпретировать так, что в реальной системе наблюдается значительное просачивание сигнала дыхания в сигнал отклика без взаимодействия. Амплитуда ритма дыхания значительно выше, чем амплитуда мэйеровской волны. Из других исследований (см., например, [10]) известно, что при частотах дыхания, близких к частоте мэйеровской волны, между этими двумя ритмами наблюдается синхронизация (200...600) с. Однако по данному вейвлетному спектру нельзя судить однозначно о наличии синхронизации, хотя косвенным признаком синхронизации может служить увеличение амплитуды вариабельности сердечного ритма вблизи частоты мэйеровской волны.

На рис. 9а представлены зависимости разности фаз между сигналом дыхания и временными масштабами, соответствующим этому сигналу дыхания, в ряде $R-R$ -интервалов. Видно, что для временного масштаба $s = s_b(t) = 1/f_b(t)$ (f_b – линейно изменяющаяся частота дыхания) в диапазоне 200...600 с фаза в среднем изменяется почти по линейному закону (отмечен на рис. 9 жирной прямой линией), что свидетельствует о режиме синхронизации в этом диапазоне частот. За пределами синхронизации разность фаз колеблется вблизи постоянного значения. Из этого факта можно сделать вывод, что в диапазоне 200...600 с динамика дыхания, проявляющаяся в сигнале $R-R$ -интервалов, влияет на внутренний ритм мэйеровской волны, в то время как за пределами этого диапазона в сигнале $R-R$ -интервалов наблюдается просто ритм дыхания, во всяком случае его взаимодействие с другими ритмами не прослеживается.

Аналогичное поведение разности фаз наблюдается и для соседних временных масштабов. На рис. 9б показаны динамика разности фаз на ряде временных масштабов $s = s_b(t) + \Delta s$. Видно, что при малой отстройке $\Delta s = \pm 0.75$ динамика разности фаз качественно подобна динамике фаз на масштабе $s = s_b$. Следовательно, мы можем немного ошибиться при определении масштабов наблюдения, и это не приведет к качественной перестройке общей картины. При значительном удалении временного масштаба наблюдения от временного масштаба дыхания s_b амплитуда соответствующего ритма падает и фаза уже не может быть уверенно определена (например, зависимость, соответствующая $\Delta s = -2$, на рис. 8б), вследствие чего разность фаз перестает быть постоянной.

ЗАКЛЮЧЕНИЕ

Таким образом, проводя исследования при изменении частоты внешнего сигнала, подаваемого

на автоколебательную систему, можно отличить ситуации, при которых воздействие на систему приводит к синхронизации, от ситуаций, при которых такое воздействие не приводит к синхронизации (и, может быть, вообще обходит динамику системы, не влияя на нее). Кроме того, даже в том случае, когда существует просачивание, синхронизация также может быть замечена. В отличие от предлагаемого метода, основанного на воздействии на систему сигнала с меняющейся частотой, методика измерения разности фаз на постоянной частоте не дает ответа на вопрос о том, является отклик в системе результатом активного взаимодействия ритмов или это – просачивание сигнала воздействия в измеренный сигнал без влияния на внутреннюю динамику системы. Использование вейвлетного преобразования для выделения фазы сигнала имеет широкие возможности и позволяет анализировать динамику фазы сигнала при изменении его частоты. Отметим высокую эффективность выделения фазы с помощью непрерывного вейвлетного преобразования из экспериментальных физиологических данных, которые характеризуются высоким уровнем зашумленности.

Предлагаемый метод также может быть использован в других экспериментах на физиологических системах для диагностики синхронизации в тех случаях, когда условия позволяют изменять частоту воздействия на систему.

Работа выполнена при финансовой поддержке Фонда гражданский исследований и развития (CRDF, грант REC-006), Российского фонда фундаментальных исследований проект № 05-02-16273), а также ФНП “Династия”.

СПИСОК ЛИТЕРАТУРЫ

1. *Pikovsky A., Rosenblum M., Kurths J. Synchronization: a universal concept in nonlinear sciences. Cambridge: Cambridge University Press, 2001.*

2. *Glass L., Mackey M.C. From clocks to chaos: the rhythms of life. Princeton: Princeton University Press, 1988.*
3. *Glass L. // Nature. 2001. V. 410. P. 277.*
4. *Mosekilde E., Maistrenko Yu., Postnov D. Chaotic synchronization, applications to living systems. Ser. A. V. 42. Singapore: World Scientific, 2002.*
5. *Malpas S. // Am. J. Physiol. Heart Circ. Physiol. 2002. V. 282. P. H6.*
6. *Stefanovska A., Hoçic M. // Prog. Theor. Phys. Suppl. 2000. V. 139. P. 270.*
7. *Schäfer C., Rosenblum M.G., Abel H.-H., Kurths J. // Phys. Rev. E. 1999. V. 60. P. 857.*
8. *Braçιç-Lotriç M., Stefanovska A. // Physica A. 2001. V. 283. P. 451.*
9. *Janson N.B., Balanov A.G., Anishchenko V.S., McClintock P.V.E. // Phys. Rev. E. 2002. V. 65. P. 036212.*
10. *Prokhorov M.D., Ponomarenko V.I., Gridnev V.I. et al. // Phys. Rev. E. 2003. V. 68. P. 041913.*
11. *Rzeczinski S., Janson N.B., Balanov A.G., McClintock P.V.E. // Phys. Rev. E. 2002. V. 66. P. 051909.*
12. *Bassingthwaigle J.B., Liebovitch L.S., West B.J. Fractal Physiology, N.Y.: Oxford University Press, 1994.*
13. *Rosenblum M.G., Pikovsky A.S., Kurths J. // Phys. Rev. Lett. 1996. V. 76. P. 1804.*
14. *Анищенко В.С., Вадивасова Т.Е. // РЭ. 2002. Т. 47. № 2. С. 133.*
15. *Pikovsky A., Rosenblum M., Kurths J. // Int. J. Bifurcation and Chaos. 2000. V. 10. P. 2291.*
16. *Анищенко В.С., Вадивасова Т.Е. // РЭ. 2004. Т. 49. С. 123.*
17. *Короновский А.А., Храмов А.Е. // Письма в ЖЭТФ. 2004. Т. 79. С. 391.*
18. *Hramov A.E., Koronovskii A.A. // Chaos. 2004. V. 14. P. 603.*
19. *Wavelets in Physics / Ed. J.C. Van den Berg. Cambridge: Cambridge University Press, 1998.*
20. *Короновский А.А., Храмов А.Е. Непрерывный вейвлетный анализ и его приложения. М.: Физматлит, 2003.*
21. *Grossman A., Morlet J. // J. Math. Anal. 1984. V. 15. P. 273.*
22. *Adler R. // Proc. IRE. 1949. V. 34. P. 351.*